

## ДОСЛІДЖЕННЯ ГАРМОНІЧНИХ КОЛИВАНЬ СФЕРИЧНОЇ ОБОЛОНКИ З ФІЗИЧНО НЕЛІНІЙНОГО П'ЄЗОЕЛЕКТРИЧНОГО МАТЕРІАЛУ

*Досліджено процес гармонічних коливань тонкої сферичної оболонки з фізично нелінійного п'єзокерамічного матеріалу при дії періодичного електричного навантаження. Побудовано амплітудно-частотні характеристики для різних амплітуд електричного навантаження. Досліджено на стійкість точки амплітудно-частотних характеристик. Вивчено перехідні процеси виходу на усталені режими гармонічних коливань.*

**Вступ.** При збуренні п'єзоелектричних тіл на резонансних частотах навіть у слабких електричних полях спостерігаються режими з такими типовими для нелінійних систем ефектами, як залежність резонансних частот від амплітуди коливань і неоднозначна залежність амплітуди від частоти та ін.

При коливаннях тонкостінних елементів спостерігаються нелінійності двох типів.

Перший тип нелінійності обумовлений впливом температури дисипативного розігріву через розсіяння електромеханічної енергії в теплову. Цей тип нелінійності породжується залежністю властивостей матеріалу від температури та нелінійною залежністю дисипативної функції від деформацій і температури. Він достатньо детально досліджений у роботах [3–7].

Другий тип нелінійності пов'язаний з залежністю характеристик матеріалу від амплітуд незалежних польових величин. Цей тип нелінійності вивчено недостатньо. У роботах [8–10] розглянуто деякі найпростіші задачі для п'єзокерамічних тіл із матеріалу з нелінійністю другого типу.

У зв'язку з тим, що тонкі п'єзоелектричні сферичні оболонки широко застосовуються у різноманітних галузях сучасної техніки, в пропонованій роботі за допомогою методу гармонічного балансу досліджуються гармонічні коливання в таких оболонках із матеріалів з нелінійністю другого типу. Побудовано амплітудно-частотні характеристики оболонки в залежності від рівня електричного навантаження. Показано, що для різних амплітуд навантаження ці характеристики можуть відрізнятися як кількісно, так і якісно. Вивчено також стійкість точок амплітудно-частотних характеристик залежно від амплітуди навантаження.

**1. Постановка задачі.** Нехай маємо поляризовану в радіальному напрямку тонку п'єзокерамічну сферичну оболонку товщини  $h$  з радіусом середньої поверхні  $R$ . На поверхнях цієї оболонки нанесено нескінченно тонкі електроди, до яких підведена різниця потенціалів  $V_0(t)$ .

Безмоментне рівняння руху такої оболонки має вигляд

$$\frac{2\sigma_\theta}{R} + \rho\ddot{w} = 0. \quad (1)$$

Її деформація визначається співвідношенням

$$\varepsilon_\theta = \frac{w}{R}. \quad (2)$$

З рівнянь (1) і (2) маємо

$$\rho R^2 \ddot{\varepsilon}_\theta + 2\sigma_\theta = 0. \quad (3)$$

Тут  $\rho$  – густина матеріалу оболонки. Надалі індекс  $\theta$  опускаємо. Визначальні співвідношення нелінійної електропружності мають вигляд [10]

$$\sigma = \frac{1}{1-\nu} (E_c^{(0)}\varepsilon + \beta E_c^{(0)}\dot{\varepsilon} + E_c^{(1)}\varepsilon^2 + E_c^{(2)}\varepsilon^3 - \gamma_0 E_r - \gamma_1 \varepsilon E_r - \gamma_2 \varepsilon^2 E_r),$$

$$D_r = \gamma_0 \varepsilon + \frac{1}{2} \gamma_1 \varepsilon^2 + \frac{1}{3} \gamma_2 \varepsilon^3 + \nu_0 E_r. \quad (4)$$

За умови, що матеріал поводить себе однаково при розтягу та стиску, співвідношення (4) спрощуються і набувають вигляду

$$\sigma = \frac{1}{1-\nu} (E_c^{(0)}\varepsilon + \beta E_c^{(0)}\dot{\varepsilon} + E_c^{(2)}\varepsilon^3 - \gamma_0 E_r - \gamma_2 \varepsilon^2 E_r),$$

$$D_r = \gamma_0 \varepsilon + \frac{1}{3} \gamma_2 \varepsilon^3 + \nu_0 E_r. \quad (5)$$

Оскільки  $\frac{\partial D_r}{\partial r} = 0$ , то  $D_r = C(t)$ , де  $C$  – функція від часу і не залежить від радіальної координати. Інтегруючи друге з рівнянь (5) за товщиною оболонки, отримаємо

$$Ch = \gamma_0 \varepsilon h + \frac{1}{3} \gamma_2 \varepsilon^3 h - \nu_0 V_0(t)$$

або

$$D_r = C = \gamma_0 \varepsilon + \frac{1}{3} \gamma_2 \varepsilon^3 - \frac{\nu_0 V_0(t)}{h}. \quad (6)$$

Підставляючи вираз (6) для  $D_r$  у друге з рівнянь (5), знаходимо

$$E_r = -\frac{V_0(t)}{h}.$$

Тоді згідно з першим рівнянням (5) запишемо вираз для  $\sigma$ :

$$\sigma = \frac{1}{1-\nu} \left( E_c^{(0)}\varepsilon + \beta E_c^{(0)}\dot{\varepsilon} + E_c^{(2)}\varepsilon^3 + (\gamma_0 + \gamma_2 \varepsilon^2) \frac{V_0(t)}{h} \right). \quad (7)$$

Підставивши співвідношення (7) у (3), будемо мати звичайне нелінійне диференціальне рівняння другого порядку

$$\rho R^2 \ddot{\varepsilon} + \frac{2}{1-\nu} \left( \beta E_c^{(0)}\dot{\varepsilon} + E_c^{(0)}\varepsilon + E_c^{(2)}\varepsilon^3 + (\gamma_2 \varepsilon^2 + \gamma_0) \frac{V_0(t)}{h} \right) = 0. \quad (8)$$

Числові значення та вирази для обчислення матеріальних констант, що входять у (8), наведено в роботі [10]:

$$\gamma_0 = E_c^{(0)} d_{31}^{(0)}, \quad \gamma_2 = E_c^{(0)} d_{31}^{(2)} + E_c^{(2)} d_{31}^{(0)},$$

$$\rho = 7790 \text{ кг/м}^3, \quad E_c^{(0)} = 0.667 \cdot 10^{11} \text{ Н/м}^2, \quad E_c^{(2)} = -1.4 \cdot 10^{18} \text{ Н/м}^2,$$

$$d_{31}^{(0)} = -2.1 \cdot 10^{-10} \text{ м/В}, \quad d_{31}^{(2)} = -0.03596 \text{ м/В}, \quad \beta = 3.165 \cdot 10^{-6}.$$

Приймаємо, що коефіцієнт Пуассона  $\nu = 0.33$ .

**2. Розв'язок задачі та аналіз результатів.** Перепишемо рівняння (8) у вигляді

$$\frac{1-\nu}{2} \rho R^2 \ddot{\varepsilon} + \beta E_c^{(0)}\dot{\varepsilon} + E_c^{(0)}\varepsilon + \gamma_2 \frac{V_0(t)}{h} \varepsilon^2 + E_c^{(2)}\varepsilon^3 + \gamma_0 \frac{V_0(t)}{h} = 0. \quad (9)$$

Позначимо

$$\omega_0^2 = \frac{2E_c^{(0)}}{(1-\nu)\rho R^2}. \quad (10)$$

Введемо безрозмірний час

$$\tau = \omega_0 t. \quad (11)$$

При цьому

$$\frac{d}{dt} = \omega_0 \frac{d}{d\tau}, \quad \frac{d^2}{dt^2} = \omega_0^2 \frac{d^2}{d\tau^2}. \quad (12)$$

Надалі похідну за часом  $\tau$  позначаємо штрихом.

Деформацію  $\varepsilon$  віднесемо до малої характерної величини  $\mu$ :

$$\bar{\varepsilon} = \varepsilon/\mu. \quad (13)$$

Підставляючи рівності (10)–(13) у (9), отримаємо

$$\bar{\varepsilon}'' + \beta\omega_0\bar{\varepsilon}' + \bar{\varepsilon} + \bar{\gamma}_2 V_0 \left( \frac{\tau}{\omega_0} \right) \bar{\varepsilon}^2 + E_2 \bar{\varepsilon}^3 = G_0 V_0 \left( \frac{\tau}{\omega_0} \right), \quad (14)$$

де

$$E_2 = \frac{2\mu^2 E_c^{(2)}}{(1-\nu)\rho R^2 \omega_0^2}, \quad G_0 = -\frac{2\gamma_0}{(1-\nu)\mu h \rho R^2 \omega_0^2}, \quad \bar{\gamma}_2 = \frac{2\mu\gamma_2}{(1-\nu)h \rho R^2 \omega_0^2}. \quad (15)$$

Дослідимо процес гармонічних коливань та їхню амплітудно-частотну характеристику. Використаємо метод гармонічного балансу [2]. Покладемо

$$V_0 \left( \frac{\tau}{\omega_0} \right) = \mathcal{B} \sin \bar{\omega} \tau, \quad \bar{\omega} = \frac{\omega}{\omega_0}, \quad (16)$$

де  $\omega$  – частота електричного збурення. Нехтуючи субгармонічними та ультрагармонічними коливаннями, дослідимо процес гармонічних коливань. При цьому апроксимацію періодичного розв'язку рівняння (14) будемо шукати у вигляді

$$\bar{\varepsilon} = A_1 \cos \bar{\omega} \tau + A_2 \sin \bar{\omega} \tau. \quad (17)$$

Підставляючи (17) у (14) і прирівнюючи коефіцієнти при  $\cos \bar{\omega} \tau$ ,  $\sin \bar{\omega} \tau$ , отримаємо нелінійну систему алгебраїчних рівнянь

$$\begin{aligned} A_1 + \frac{3}{4} A_1 E_2 (A_1^2 + A_2^2) + \frac{1}{2} A_1 A_2 \mathcal{B} \bar{\gamma}_2 + A_2 \omega_0 \beta \bar{\omega} - A_1 \bar{\omega}^2 &= 0, \\ A_2 + \frac{3}{4} A_2 E_2 (A_1^2 + A_2^2) + \frac{1}{4} \mathcal{B} \bar{\gamma}_2 (A_1^2 + 3A_2^2) - A_1 \omega_0 \beta \bar{\omega} - A_2 \bar{\omega}^2 &= \mathcal{B} G_0. \end{aligned}$$

Звідси знаходимо

$$A_1 = \frac{4\omega_0 \beta \bar{\omega} x}{-4\mathcal{B} G_0 + \mathcal{B} \bar{\gamma}_2 x}, \quad A_2 = \frac{4(1 - \bar{\omega}^2)x + 3E_2 x^2}{4\mathcal{B} G_0 - 3\mathcal{B} \bar{\gamma}_2 x}, \quad (18)$$

де  $x = A^2 = A_1^2 + A_2^2$  – квадрат амплітуди коливань.

Підносячи вирази (18) до квадрата, підсумовуючи їх, будемо мати рівняння для визначення квадрата амплітуди

$$\mathcal{B}^2 x = \left( \frac{4\omega_0 \beta \bar{\omega} x}{-4G_0 + \bar{\gamma}_2 x} \right)^2 + \left( \frac{4(1 - \bar{\omega}^2)x + 3E_2 x^2}{4G_0 - 3\bar{\gamma}_2 x} \right)^2. \quad (19)$$

Нехтуючи тривіальним коренем цього рівняння, після елементарних перетворень отримаємо алгебраїчне рівняння п'ятого порядку відносно  $x$ :

$$a_0 + a_1 x + a_2 x^2 + a_3 x^3 + a_4 x^4 + a_5 x^5 = 0, \quad (20)$$

де

$$\begin{aligned} a_0 &= -16\mathcal{B}^2 G_0^4, \quad a_1 = 16G_0^2 (1 + 2\mathcal{B}^2 G_0 \bar{\gamma}_2 + (\omega_0^2 \beta^2 - 2)\bar{\omega}^2 + \bar{\omega}^4), \\ a_2 &= -2G_0 \{ 12E_2 G_0 (\bar{\omega}^2 - 1) + \bar{\gamma}_2 [11\mathcal{B}^2 G_0 \bar{\gamma}_2 + 4(1 + (3\omega_0^2 \beta^2 - 2)\bar{\omega}^2 + \bar{\omega}^4)] \}, \\ a_3 &= 9E_2^2 G_0^2 + 12E_2 G_0 \bar{\gamma}_2 (\bar{\omega}^2 - 1) + \bar{\gamma}_2^2 [1 + 6\mathcal{B}^2 G_0 \bar{\gamma}_2 + (9\omega_0^2 \beta^2 - 2)\bar{\omega}^2 + \bar{\omega}^4], \\ a_4 &= \frac{3}{16} \bar{\gamma}_2 [24E_2^2 G_0 + 3\mathcal{B}^2 \bar{\gamma}_2^3 + 8E_2 \bar{\gamma}_2 (\bar{\omega}^2 - 1)], \quad a_5 = \frac{9}{16} E_2^2 \bar{\gamma}_2^2. \end{aligned}$$

Розв'язуючи рівняння (20) при фіксованій зовнішній частоті  $\bar{\omega}$  і відкидаючи від'ємні та комплексні корені, отримуємо значення квадратів можливих амплітуд. Таким чином можемо побудувати амплітудно-частотну характеристику. На рис. 1 наведено амплітудно-частотні характеристики гармонічних коливань оболонки радіуса  $R = 0.1$  м та товщини  $h = 0.005$  м для різних значень амплітуди збурюючої різниці потенціалів при  $\mu = 10^{-4}$ . Кривим 1-3 відповідають значення амплітуди різниці потенціалів  $\mathcal{B} = 277, 257, 227$  В. Крива 4 - це так звана скелетна крива [1], яка розраховується з рівняння (19), коли покласти  $\mathcal{B} = \beta = 0$ :

$$x = \frac{4(1 - \bar{\omega}^2)}{3E_2}.$$

Товсті криві показують стійкі точки амплітудно-частотних характеристик, а тонкі - нестійкі.

Згідно з роботою [2] у стійких точках амплітудно-частотної характеристики повинна виконуватись умова

$$\begin{vmatrix} \frac{\partial X(A_1, A_2)}{\partial A_1} & \frac{\partial X(A_1, A_2)}{\partial A_2} \\ \frac{\partial Y(A_1, A_2)}{\partial A_1} & \frac{\partial Y(A_1, A_2)}{\partial A_2} \end{vmatrix} > 0. \quad (21)$$

У нерівності (21) функції  $X(A_1, A_2)$ ,  $Y(A_1, A_2)$  визначаються за формулами

$$X(A_1, A_2) =$$

$$= -\bar{\omega}^2 A_1 + \beta \omega_0 \bar{\omega} A_2 + \frac{\bar{\omega}}{\pi} \int_0^{2\pi/\bar{\omega}} (\omega_0^2 \bar{\epsilon}_0 + \bar{\gamma}_2 \mathcal{B} \sin \bar{\omega} \tau \bar{\epsilon}_0^2 + E_2 \bar{\epsilon}_0^3) \cos \bar{\omega} \tau d\tau,$$

$$Y(A_1, A_2) =$$

$$= -\beta \omega_0 \bar{\omega} A_1 - \bar{\omega}^2 A_2 + \frac{\bar{\omega}}{\pi} \int_0^{2\pi/\bar{\omega}} (\omega_0^2 \bar{\epsilon}_0 + \bar{\gamma}_2 \mathcal{B} \sin \bar{\omega} \tau \bar{\epsilon}_0^2 + E_2 \bar{\epsilon}_0^3) \sin \bar{\omega} \tau d\tau,$$

де

$$\bar{\epsilon}_0 = A_1 \cos \bar{\omega} \tau + A_2 \sin \bar{\omega} \tau.$$

Тут константи  $A_1$  та  $A_2$  визначені згідно з формулою (18), а квадрат амплітуди отримано з полінома (20).

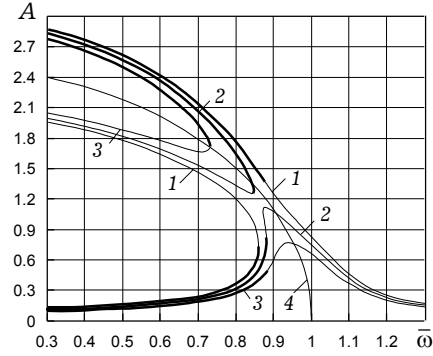


Рис. 1

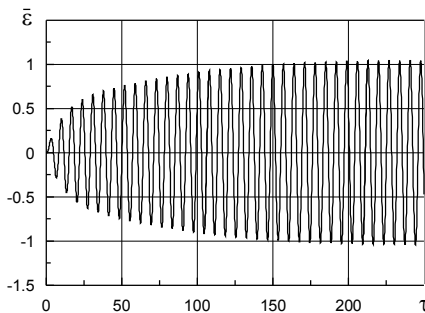


Рис. 2

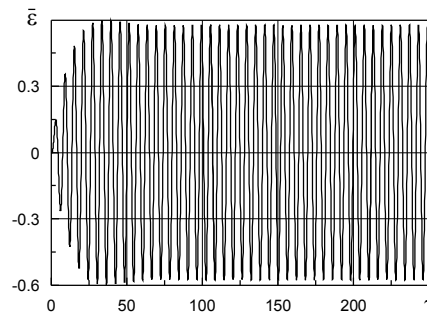


Рис. 3

На рис. 2 показано результати чисельного розв'язування рівняння (14) при  $V_0 \left( \frac{\tau}{\omega_0} \right) = \mathcal{B} \sin \bar{\omega} \tau$  з амплітудою  $\mathcal{B} = 257$  В для частоти  $\bar{\omega} = 0.9$ . Аналогічна крива для частоти  $\bar{\omega} = 1.05$  зображена на рис. 3. Наведені на цих рисунках криві ілюструють вихід нестационарного режиму коливань на стаціонарний режим, який добре узгоджується з відповідною (криві 2 на рис. 1) амплітудно-частотною характеристикою.

1. Митропольский Ю. А. Нестационарные процессы в нелинейных колебательных системах. – Киев: Изд-во АН УССР, 1955. – 284 с.
2. Хаяси Т. Нелинейные колебания в физических системах. – Москва: Мир, 1968. – 432 с.
3. Karnaukhov V. G. On A. D. Kovalenko's research works on the thermomechanics of coupled field in materials and structural members and its further development // Int. Appl. Mech. – 2005. – **41**, No. 9. – P. 967–975.
4. Karnaukhov V. G., Revenko Yu. V. Dissipative heating of viscoelastic cylinder under load steadily moving over its surface // Int. Appl. Mech. – 2005. – **41**, No. 2. – P. 129–136.
5. Karnaukhov V. G., Revenko Yu. V. Vibrations and dissipative heating of a cylindrical panel under periodic moving load // Int. Appl. Mech. – 2005. – **41**, No. 4. – P. 426–434.
6. Kirichok I. F. Resonant flexural vibrations and dissipative heating of a piezoceramic ring plate with nonuniformly electroded surfaces // Int. Appl. Mech. – 2006. – **42**, No. 3. – P. 336–341.
7. Kirichok I. F., Karnaukhova T. V. Resonant vibrations and dissipative heating of an infinite piezoceramic cylinder // Int. Appl. Mech. – 2005. – **41**, No. 3. – P. 309–314.
8. Wagner U. Non linear longitudinal vibrations of non slender piezoceramic rods // Int. J. Non-linear Mech. – 2004. – **39**. – P. 677–688.
9. Wagner U. Non linear longitudinal vibrations of piezoceramics excited by weak electric fields // Int. J. Non-linear Mech. – 2003. – **38**. – P. 565–574.
10. Wagner U., Hagedorn P. Piezo-beam systems subjected to weak electric field: experiments and modeling of non-linearities // J. Sound and Vibration. – 2002. – **256**, No. 3. – P. 861–872.

#### ИССЛЕДОВАНИЕ ГАРМОНИЧЕСКИХ КОЛЕБАНИЙ СФЕРИЧЕСКОЙ ОБОЛОЧКИ ИЗ ФИЗИЧЕСКИ НЕЛИНЕЙНОГО ПЬЕЗОЭЛЕКТРИЧЕСКОГО МАТЕРИАЛА

*Исследован процесс гармонических колебаний тонкой сферической оболочки из физически нелинейного пьезокерамического материала при действии периодической электрической нагрузки. Построены амплитудно-частотные характеристики для различных амплитуд электрической нагрузки. Точки амплитудно-частотных характеристик исследованы на устойчивость. Изучены переходные процессы выхода на установившиеся режимы гармонических колебаний.*

#### INVESTIGATION OF HARMONIC VIBRATIONS OF SPHERICAL SHELL FROM PHYSICALLY NON-LINEAR PIEZOELECTRIC MATERIAL

*The process of harmonic vibrations of thin piezoelectric ceramic spherical shell under electric periodic loading is investigated. The shell material is physically nonlinear. The amplitude-frequency characteristics are plotted for different amplitudes of electric loading. The stability of points of amplitude-frequency characteristics is investigated. Transients of setting up the steady-state harmonic vibrations are shown.*

<sup>1</sup> Ін-т механіки ім. С. П. Тимошенка  
НАН України, Київ,  
<sup>2</sup> Нац. техн. ун-т України «КПІ», Київ

Одержано  
01.12.06